

## ● Mittag-Leffler Expansion

複素関数論における重要な公式 Mittag-Leffler 展開について論じます。

Mittag-Leffler Expansion は 後述予定の Weierstrass Factor Theorem の導出に不可欠です。Weierstrass Factor Theorem は 3 角関数や Gamma 関数に関する重要な式を提供してくれます。Gamma 関数は n 次元単位球の体積や Zeta 関数を論じるためには必須です。

複素関数論の復習も兼ねて、留数定理 (Residue Theorem) から始めましょう。但し、極は 1 位の極 (Simpl Pole) だけからなる関数の Residue Theorem とします。Cauchy's Integral Theorem は既知とします。

### Residue Theorem

複素関数  $f(z)$  が、單一閉曲線  $C$  の内部に  $n$  個の孤立した 1 位の極 (isolated first-order poles),  $a_1, a_2, a_3, \dots, a_n$  をもつとします。また  $f(z)$  は、これら以外の、 $C$  の内部および  $C$  上のいかなる点でも正則である (analytic) とします。次式が成り立ちます。

$$\oint_C f(z) dz = 2\pi i \sum_{k=1}^n A_k \quad .1)$$

ここで  $A_k$  ( $k = 1, 2, 3, \dots, n$ ) は 極  $a_k$  における  $f(z)$  の留数 (Residue) と呼ばれる量で、次式で求められます。

$$A_k = \lim_{z \rightarrow a_k} f(z)(z - a_k) \quad (k = 1, 2, 3, \dots, n) \quad .2)$$

【P6&5】 Mittag-Leffler Expansion (続き)

証明します。 $n=1$ の場合について示せば十分です。 $a_1 = a$ ,  $A_1 = A$ と記すことにします。極 $a$ を中心とする、微小半径 $r$ の円を $K$ とします。下図のような単一閉曲線を考えます。

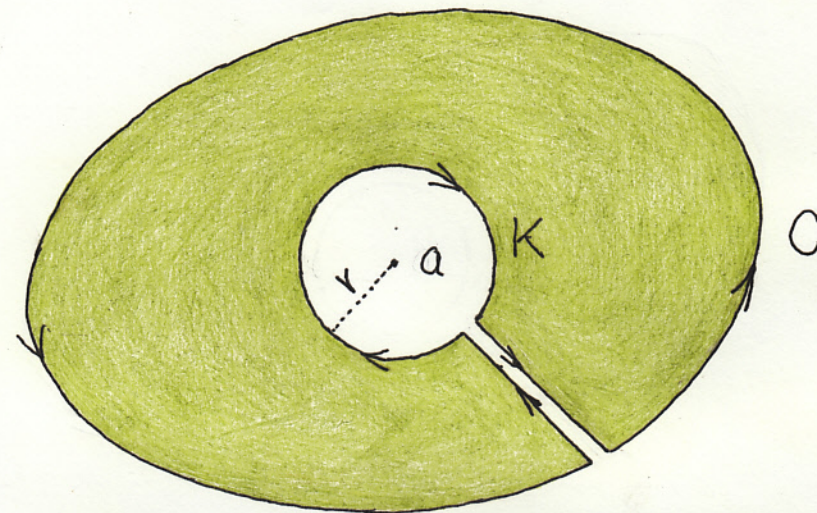


fig. 285

$C$ と $K$ に囲まれた領域（緑色の領域）では $f(z)$ は正則ですから Cauchy's Integral Theorem が適用できます。従って、

$$\oint_C f(z) dz + \oint_K f(z) dz = 0 \quad (W1)$$

また $K$ 上の点 $z$ 及び $dz$ は、

$$z-a = re^{i\theta}, \quad dz = ire^{i\theta}d\theta = i(z-a)d\theta \quad (W2)$$

$r$ はいくらでも小さくすることができます。 $(W1), (W2)$ より、

$$\begin{aligned} \oint_C f(z) dz &= \oint_K f(z) dz = \lim_{r \rightarrow 0} \oint_K f(z) dz \\ &= \lim_{r \rightarrow 0} \int_0^{2\pi} f(re^{i\theta}) i(re^{i\theta}) d\theta \end{aligned}$$

【P606】1月26日(水) Mittag-Leffler Expansion (続き)

$$\oint_C f(z) dz = i \int_0^{2\pi} \left( \lim_{z \rightarrow a} f(z)(z-a) \right) d\theta \\ = i A \int_0^{2\pi} d\theta = 2\pi i A \quad ..$$

Residue Theoremを巧妙に用いれば、次の公式を得ることが出来ます。

### Mittag-Leffler Expansion

複素関数  $f(z)$  が、孤立した1位の極  $a_1, a_2, a_3, \dots$  をもつとします。  $a_k \neq Q$  ( $k=1, 2, 3, \dots$ ) とします。  $f(z)$  はこれら以外の点では正則であるとします。また  $f(z)$  は次を満たすとします。

$$\lim_{|z| \rightarrow \infty} \frac{f(z)}{z} = Q \quad \text{注) 有り} \rightarrow P61Q \quad .1)$$

このとき  $f(z)$  は 正則点  $z$  において 次式を満たします。

$$f(z) = f(Q) + \sum_{k=1}^{\infty} A_k \left( \frac{1}{z-a_k} + \frac{1}{a_k} \right) \quad .2)$$

ここで  $A_k$  は 点  $a_k$  における  $f(z)$  の 留数です。

$$A_k = \lim_{z \rightarrow a_k} f(z)(z-a_k) \quad (k=1, 2, 3, \dots) \quad .3)$$

定理(205)

証明します。定理自身が簡明な割にはやや長めの証明です。

$$Q < |a_1| \leq |a_2| \leq |a_3| \leq \dots \quad (W3)$$

## 【P6Q7】 Mittag-Leffler Expansion ( 続き)

とします。(W3)を要請しても一般性を失いません。必要ならば並び換えて採番し直せば良いのです。

原点を中心とする円  $C_n$  を考えます。 $C_n$  の内部には  $f(z)$  の  $n$  個の極  $a_1, a_2, a_3, \dots, a_n$  が含まれ、 $a_{n+1}, a_{n+2}, a_{n+3}, \dots$  は  $C_n$  の外部にあるものとします。すべての正整数  $n$  に対してこのような円  $C_n$  を定めることができるとは限りません。原点からの距離が等しい 2 個以上の極が存在し得るからです。しかし、いくらでも大きい  $n$  に対してこのような円  $C_n$  を定めることは可能です。 $n \rightarrow \infty$  とするとき  $|a_n| \rightarrow \infty$  であることに注意しよう。何故ならば、もしそうでないとするならば、 $f(z)$  は有界の領域に無限個の極をもつことになり、従って、集積特異点をもつことになりますが、これは  $f(z)$  の仮定に反します。よって、 $n \rightarrow \infty$  するととき  $C_n$  の半径はいくらでも大きくなります。(205.2) は、 $f(z)$  が有限個の 1 位の極しかもたない場合でも成り立つのですが、その場合でも最後の  $C_n$  の半径をいくらでも大きくすることができます。(そうします。)

円  $C_n$  内の正則点  $\zeta$  をかってに選び固定します。この固定された  $\zeta$  に対して、複素変数  $\zeta$  の関数  $g(\zeta)$  を次式で定義します。

$$g(\zeta) = \frac{f(\zeta)}{\zeta - z} \quad (W4)$$

$g(\zeta)$  は  $C_n$  の内部に 1 位の極  $z, a_1, a_2, a_3, \dots, a_n$  をもちます。またこれら以外の、 $C_n$  の内部及び  $C_n$  上のいかなる点  $\zeta$  でも  $g(\zeta)$  は正則です。よって Residue Theorem (204) より、

$$\frac{1}{2\pi i} \oint_{C_n} g(\zeta) d\zeta = B_z + \sum_{k=1}^n B_k \quad (W5)$$

ここで、 $B_z$  は  $g(\zeta)$  の極  $z$  における留数で、 $B_k$  ( $k=1, 2, 3, \dots, n$ ) は

【P608】1月27日(木) Mittag-Leffler Expansion (続き)

$g(\zeta)$  の極  $a_k$  における留数です。これらの留数を計算します。

$$B_z = \lim_{\zeta \rightarrow z} g(\zeta)(\zeta - z) = \lim_{\zeta \rightarrow z} \frac{f(\zeta)}{\zeta - z} (\zeta - z) \\ = f(z)$$

$$B_k = \lim_{\zeta \rightarrow a_k} g(\zeta)(\zeta - a_k) = \lim_{\zeta \rightarrow a_k} \frac{f(\zeta)}{\zeta - a_k} (\zeta - a_k) \\ = \frac{1}{a_k - z} \lim_{\zeta \rightarrow a_k} f(\zeta)(\zeta - a_k) \\ = \frac{A_k}{a_k - z}$$

$$B_z = f(z), \quad B_k = \frac{A_k}{a_k - z} \quad (k=1, 2, 3, \dots, n) \quad (W6)$$

(W4), (W5), (W6) より、

$$f(z) = \sum_{k=1}^n \frac{A_k}{z - a_k} + \frac{1}{2\pi i} \oint_{C_n} \frac{f(\zeta)}{\zeta - z} d\zeta \quad (W7)$$

この式に  $z = \infty$  を代入すると、

$$\frac{1}{2\pi i} \oint_{C_n} \frac{f(\zeta)}{\zeta} = f(\infty) + \sum_{k=1}^n \frac{A_k}{a_k} \quad (W8)$$

ところで、

$$\frac{1}{\zeta - z} = \frac{1}{\zeta} + \frac{z}{\zeta(\zeta - z)} \quad (W9)$$

よって (W7) の右辺の 2 項の積分は、

【P609】1月28日(金) Mittag-Leffler Expansion (続き)

$$\frac{1}{2\pi i} \oint_{C_n} \frac{f(\zeta)}{\zeta - z} d\zeta = \frac{1}{2\pi i} \oint_{C_n} \frac{f(\zeta)}{\zeta} d\zeta + \frac{z}{2\pi i} \oint_{C_n} \frac{f(\zeta)}{\zeta(\zeta-z)} d\zeta \quad (\text{W10})$$

(W7), (W10), (W8)より、

$$f(z) = f(0) + \sum_{k=1}^n A_k \left( \frac{1}{z-a_k} + \frac{1}{a_k} \right) + \frac{z}{2\pi i} \oint_{C_n} \frac{f(\zeta)}{\zeta(\zeta-z)} d\zeta \quad (\text{W11})$$

これで(2Q5.2)が見えてきましたね。後は(W11)右辺第3項の積分が $\mathbb{Q}$ に収束すること、つまり次式を示せば(2Q5)の証明は完了です。

$$\lim_{n \rightarrow \infty} \oint_{C_n} \frac{f(\zeta)}{\zeta(\zeta-z)} d\zeta = \mathbb{Q} \quad (\text{W12})$$

しかしこれはほとんど自明です。 $n \rightarrow \infty$ で $C_n$ の半径はいくらでも大きくなります。(W12)の $\zeta$ は $C_n$ 上の点であり、命題の前提条件.1)より、 $|\zeta| \rightarrow \infty$ とするとき、 $f(\zeta)/\zeta^2$ は $1/|\zeta|$ よりも速く $\mathbb{Q}$ に収束するからです。確認しましょう。 $C_n$ 上の点 $\zeta$ を $\zeta = re^{i\theta}$ と表わせば、 $C_n$ 上の $d\zeta$ は $d\zeta = ire^{i\theta}d\theta = i\zeta d\theta$ です。従って、

$$\begin{aligned} \lim_{n \rightarrow \infty} \oint_{C_n} \frac{f(\zeta)}{\zeta(\zeta-z)} d\zeta &= \lim_{r \rightarrow \infty} \int_0^{2\pi} \frac{f(\zeta)}{\zeta(\zeta-z)} i\zeta d\theta \\ &= i \lim_{r \rightarrow \infty} \int_0^{2\pi} \frac{f(\zeta)}{\zeta - z} d\theta \\ &= i \lim_{r \rightarrow \infty} \int_0^{2\pi} \frac{f(\zeta)}{\zeta} \cdot \frac{1}{1 - \frac{z}{\zeta}} d\theta \\ &= \mathbb{Q} \end{aligned}$$

Q.E.D.

## 【P610】 Mittag-Leffler Expansion ( 続き )

注)

Mittag-Leffler Expansion の前提条件 (205.1) と後述予定の Weierstrass Factor Theorem の前提条件はちょっと厳しそぎます。証明における (205.1) の用いられ方から明らかのように、(205.1) における  $|z| \rightarrow \infty$  は次のように見做すべきです。即ち、

$z_n = r_n e^{i\theta}$  とするとき、無限大に発散するある数列  $\{r_n\}$  が存在し、この数列に対して、 $\theta$ によらずに、

$$\lim_{n \rightarrow \infty} \frac{f(z_n)}{z_n} = \alpha \quad .1)$$

後述予定の Weierstrass Factor Theorem の前提条件も同様で、

$$\lim_{n \rightarrow \infty} \frac{f'(z_n)}{z_n f(z_n)} = \alpha \quad .2)$$

と見做すべきです。

注(206)

Mittag-Leffler Expansion も、それを巧みに適用することによって得られる Weierstrass Factor theorem も、3角関数とともに相性が良いと感じます。でもそれは単に、僕がこれらの応用例の Variation に関する知識が乏しいだけのことかもしれません。いずれにせよ、 $\sin z, \cos z$  の複素関数としての挙動に関して若干の考察を行っておくべきでしょう。例えば、 $|z| \rightarrow \infty$  とするときの  $\sin z$  を含む関数の挙動や、 $\sin z, \cos z$  の零点の分布状況などです。

【P611】1月29日(土) Mittag-Leffler Expansion(続き)

$Z = r e^{i\theta}$  とおきます。 $r$ は非負実数、 $\theta$ も実数とします。このとき、 $\sin Z, \cos Z$ を $r$ と $\theta$ で表現しましょう。Eulerの公式を用います。

$$\begin{aligned}\sin Z &= \sin(r e^{i\theta}) \\ &= \sin(r \cos \theta + i r \sin \theta) \\ &= \sin(r \cos \theta) \cos(i r \sin \theta) + \cos(r \cos \theta) \sin(i r \sin \theta)\end{aligned}$$

ここで

$$\cos(ix) = \frac{1}{2}(e^{i(ix)} + e^{-i(ix)}) = \frac{1}{2}(e^{-x} + e^x)$$

$$\cos(ix) = \cosh x \quad (\text{W13})$$

$$\sin(ix) = \frac{1}{2i}(e^{i(ix)} - e^{-i(ix)}) = \frac{-i}{2}(e^{-x} - e^x)$$

$$\sin(ix) = i \sinh x \quad (\text{W14})$$

よって、

$$\begin{aligned}\sin Z &= \sin(r \cos \theta) \cosh(r \sin \theta) \\ &\quad + i \cos(r \cos \theta) \sinh(r \sin \theta)\end{aligned} \quad (\text{W15})$$

$$\begin{aligned}\cos Z &= \cos(r \cos \theta + i r \sin \theta) \\ &= \cos(r \cos \theta) \cos(i r \sin \theta) - \sin(r \cos \theta) \sin(i r \sin \theta)\end{aligned}$$

$$\begin{aligned}\cos Z &= \cos(r \cos \theta) \cosh(r \sin \theta) \\ &\quad - i \sin(r \cos \theta) \sinh(r \sin \theta)\end{aligned} \quad (\text{W16})$$

$|\sin Z|^2, |\cos Z|^2$ を $r$ と $\theta$ で表現します。 $(\text{W15}), (\text{W16})$ を用います。

$$\begin{aligned}|\sin Z|^2 &= \sin^2(r \cos \theta) \cosh^2(r \sin \theta) \\ &\quad + \cos^2(r \cos \theta) \sinh^2(r \sin \theta)\end{aligned}$$

## 【P612】 Mittag-Leffler Expansion ( 続き )

ところで、(W13), (W14) より、

$$1 = \cosh^2 x - \sinh^2 x \quad (\text{W17})$$

よって、

$$\begin{aligned} |\sin z|^2 &= \sin^2(r\cos\theta)(1 + \sinh^2(r\sin\theta)) \\ &\quad + (1 - \sin^2(r\cos\theta)) \sinh^2(r\sin\theta) \end{aligned}$$

$$|\sin z|^2 = \sin^2(r\cos\theta) + \sinh^2(r\sin\theta) \quad (\text{W18})$$

$$\begin{aligned} |\cos z|^2 &= \cos^2(r\cos\theta) \cosh^2(r\sin\theta) \\ &\quad + \sin^2(r\cos\theta) \sinh^2(r\sin\theta) \\ &= \cos^2(r\cos\theta)(1 + \sinh^2(r\sin\theta)) \\ &\quad + (1 - \cos^2(r\cos\theta)) \sinh^2(r\sin\theta) \end{aligned}$$

$$|\cos z|^2 = \cos^2(r\cos\theta) + \sinh^2(r\sin\theta) \quad (\text{W19})$$

ここまで計算結果を定理としまして再記しておくきます。

$\sin z$  の  $r, \theta$  表現など

$$\cos(ix) = \cosh x, \quad \sin(ix) = i \sinh(x) \quad .1)$$

$$\cosh^2 x - \sinh^2 x = 1 \quad .2)$$

非負実数  $r$ , 実数  $\theta$  を用いて、 $z = r e^{i\theta}$  とおけば、

$$\begin{aligned} \sin z &= \sin(r\cos\theta) \cosh(r\sin\theta) \\ &\quad + i \cos(r\cos\theta) \sinh(r\sin\theta) \end{aligned} \quad .3)$$

【P613】1月30日(日) Mittag-Leffler Expansion (続き)

$$\begin{aligned}\cos z &= \cos(r\cos\theta)\cosh(r\sin\theta) \\ &\quad - i \sin(r\cos\theta)\sinh(r\sin\theta)\end{aligned}.4)$$

$$|\sin z|^2 = \sin^2(r\cos\theta) + \sinh^2(r\sin\theta).5)$$

$$|\cos z|^2 = \cos^2(r\cos\theta) + \sinh^2(r\sin\theta).6)$$

.5), .6)より、

$\sin z, \cos z$  の零点は実軸上にしか存在しません。.7)

定理(207)

$$g_s(z) = \frac{1}{|z|^2 |\sin z|^2}$$

の  $|z| \rightarrow \infty$  における挙動を調べよう。問題となるのは  $|\sin z|^2$  です。  
(207.5) を用います。.5) の右辺は  $\cos\theta, \sin\theta$  の偶関数ですから、  
 $0 \leq \theta \leq \frac{\pi}{2}$  の  $\theta$ について考えれば十分です。まず、 $\theta \neq 0$  の場合は、  
 $\sin\theta \neq 0$  だから、 $r \rightarrow \infty$  で  $\sinh^2(r\sin\theta) \rightarrow \infty$  です。従ってこの場合  $|z| \rightarrow \infty$  で  $g_s(z) \rightarrow \infty$  です。次に  $\theta = 0$  の場合は、 $z_n = r_n$   
とし、 $r_n = (n - \frac{1}{2})\pi$ , ( $n = 1, 2, 3, \dots$ ) とすれば  $|\sin z_n| = 1$  ですから、  
 $|z_n| \rightarrow \infty$  で  $g_s(z_n) \rightarrow 0$  です。いずれにしても

無限大に発散する数列  $\{r_n\}$  が存在し、 $z_n = r_n e^{i\theta}$  とするとき、  
 $n \rightarrow \infty$  とするととき、 $\theta$ によらずに、 $g_s(z_n) \rightarrow 0$  です。

$$g_c(z) = \frac{1}{|z|^2 |\cos z|^2}$$

に関する同様の議論が出きます。ただし、 $r_n = n\pi$  です。

## 【P614】 Mittag-Leffler Expansion ( 続き )

これらも定理としてまとめておきましょう。

Well-Behaved  $\sin z, \cos z$

$z_n = r_n e^{i\theta}$  とします。  $r_n = (n - \frac{1}{2})\pi$  ( $n = 1, 2, 3, \dots$ ) とします。  
 $\{r_n\}$  は無限大に発散します。このとき、 $\theta$ によらずに次が成り立ちます。

$$\lim_{n \rightarrow \infty} \frac{1}{|z_n|^2 |\sin z_n|^2} = \infty \quad .1)$$

$z_n = r_n e^{i\theta}$  とします。  $r_n = n\pi$  ( $n = 1, 2, 3, \dots$ ) とします。  
 $\{r_n\}$  は無限大に発散します。このとき、 $\theta$ によらずに次が成り立ちます。

$$\lim_{n \rightarrow \infty} \frac{1}{|z_n|^2 |\cos z_n|^2} = \infty \quad .2)$$

定理(208)

Mittag-Leffler Expansion の具体的な関数への適用例を(とりあえず) 2つだけ示しましょう。まず次式の  $f(z)$

$$f(z) = \frac{1}{\sin z} - \frac{1}{z}$$

を考えましょう。  $f(z)$  の 1 位の極は、

$$a_k = k\pi \quad (k = \pm 1, \pm 2, \pm 3, \dots)$$

です。  $f(z)$  は上記以外のすべての点  $z$  で正則です。また、

$$\frac{f(z)}{z} = \frac{1}{z \sin z} - \frac{1}{z^2}$$

【P615】1月31日(月) Mittag-Leffler Expansion(続き)

従って、(208.1)より、 $f(z)$ は Mittag-Leffler Expansion の前提条件 (206.1) を満たします。 $f(0)$  は、

$$\begin{aligned}
 f(0) &= \lim_{z \rightarrow 0} \frac{z - \sin z}{z \sin z} \\
 &= \lim_{z \rightarrow 0} \frac{(z - \sin z)'}{(z \sin z)'} = \lim_{z \rightarrow 0} \frac{1 - \cos z}{\sin z + z \cos z} \\
 &= \lim_{z \rightarrow 0} \frac{(1 - \cos z)'}{(\sin z + z \cos z)'} = \lim_{z \rightarrow 0} \frac{\sin z}{2 \cos z - z \sin z} \\
 &= 0
 \end{aligned}$$

1位の極  $a_k = k\pi$  における留数  $A_k$  は、

$$\begin{aligned}
 A_k &= \lim_{z \rightarrow a_k} f(z)(z - a_k) \\
 &= \lim_{z \rightarrow k\pi} \frac{z - k\pi}{\sin z} - \lim_{z \rightarrow k\pi} \frac{z - k\pi}{z} \\
 &= \lim_{z \rightarrow k\pi} \frac{(z - k\pi)'}{(\sin z)'} = \lim_{z \rightarrow k\pi} \frac{1}{\cos z} = (-1)^k
 \end{aligned}$$

よって、(205.2) より、

$$\begin{aligned}
 \frac{1}{\sin z} - \frac{1}{z} &= \sum_{k=1}^{\infty} (-1)^k \left( \frac{1}{z - k\pi} + \frac{1}{k\pi} \right) \\
 &\quad + \sum_{k=1}^{\infty} (-1)^k \left( \frac{1}{z + k\pi} - \frac{1}{k\pi} \right) \\
 &= 2 \sum_{k=1}^{\infty} \frac{(-1)^k z}{z^2 - k^2 \pi^2}
 \end{aligned}$$

【P616】2月1日(火) Mittag-Leffler Expansion (続き)

$$\frac{z}{\sin z} = 1 + 2 \sum_{k=1}^{\infty} \frac{(-1)^k z^2}{z^2 - k^2 \pi^2} \quad (\text{W2Q})$$

次に、下記の  $f(z)$  について考えましょう。

$$f(z) = \frac{1}{\cos z}$$

$f(z)$  の 1 位の極は、下記の  $a_k$  と  $b_k$  です。

$$a_k = \frac{2k-1}{2}\pi, \quad b_k = -a_k \quad (k=1, 2, 3, \dots)$$

$f(z)$  は上記以外のすべての点  $z$  で正則です。また、

$$\frac{f(z)}{z} = \frac{1}{z \cos z}$$

従って、(2Q8.2)より、 $f(z)$  は Mittag-Leffler Expansion の前提条件(2Q6.1)を満たします。 $f(\infty)$  は、

$$f(\infty) = 1$$

$a_k$  における  $f(z)$  の留数  $A_k$  は、

$$\begin{aligned} A_k &= \lim_{z \rightarrow a_k} f(z)(z - a_k) = \lim_{z \rightarrow \frac{2k-1}{2}\pi} \frac{z - \frac{2k-1}{2}\pi}{\cos z} \\ &= \lim_{z \rightarrow \frac{2k-1}{2}\pi} \frac{(z - \frac{2k-1}{2}\pi)'}{(\cos z)'} = \lim_{z \rightarrow \frac{2k-1}{2}\pi} \frac{-1}{\sin z} \\ &= (-1)^k \end{aligned}$$

$b_k$  における  $f(z)$  の留数  $B_k$  は、

# 【P617】 Mittag-Leffler Expansion ( 続き )

$$\begin{aligned}
 B_k &= \lim_{z \rightarrow b_k} f(z)(z - b_k) = \lim_{z \rightarrow \frac{1-2k}{2}\pi} \frac{z - \frac{1-2k}{2}\pi}{\cos z} \\
 &= \lim_{z \rightarrow \frac{1-2k}{2}\pi} \frac{(z - \frac{1-2k}{2}\pi)'}{(\cos z)'} = \lim_{z \rightarrow \frac{1-2k}{2}\pi} \frac{-1}{\sin z} \\
 &= (-1)^{k+1} = -A_k
 \end{aligned}$$

よって (205.2) より

$$\begin{aligned}
 \frac{1}{\cos z} &= 1 + \sum_{k=1}^{\infty} (-1)^k \left( \frac{1}{z - a_k} + \frac{1}{a_k} \right) \\
 &\quad + \sum_{k=1}^{\infty} (-1)^{k+1} \left( \frac{1}{z + a_k} - \frac{1}{a_k} \right) \\
 &= 1 + \sum_{k=1}^{\infty} (-1)^k \left( \frac{2a_k}{z^2 - a_k^2} + \frac{2}{a_k} \right) \\
 &= 1 + 2 \sum_{k=1}^{\infty} (-1)^k \frac{1}{a_k} \frac{z^2}{z^2 - a_k^2} \\
 \frac{1}{\cos z} &= 1 + 2 \sum_{k=1}^{\infty} \frac{1}{\frac{2k-1}{2}\pi} \frac{(-1)^k z^2}{z^2 - (\frac{2k-1}{2}\pi)^2} \tag{W21}
 \end{aligned}$$

## Mittag-Leffler Expansion の 適用例

$$\frac{z}{\sin z} = 1 + 2 \sum_{k=1}^{\infty} (-1)^k \frac{z^2}{z^2 - (k\pi)^2} \tag{1)$$

$$\frac{1}{\cos z} = 1 + 2 \sum_{k=1}^{\infty} \frac{(-1)^k}{\frac{2k-1}{2}\pi} \frac{z^2}{z^2 - (\frac{2k-1}{2}\pi)^2} \tag{2)$$

定理 (209)

● うずまき曲線群の追加作図

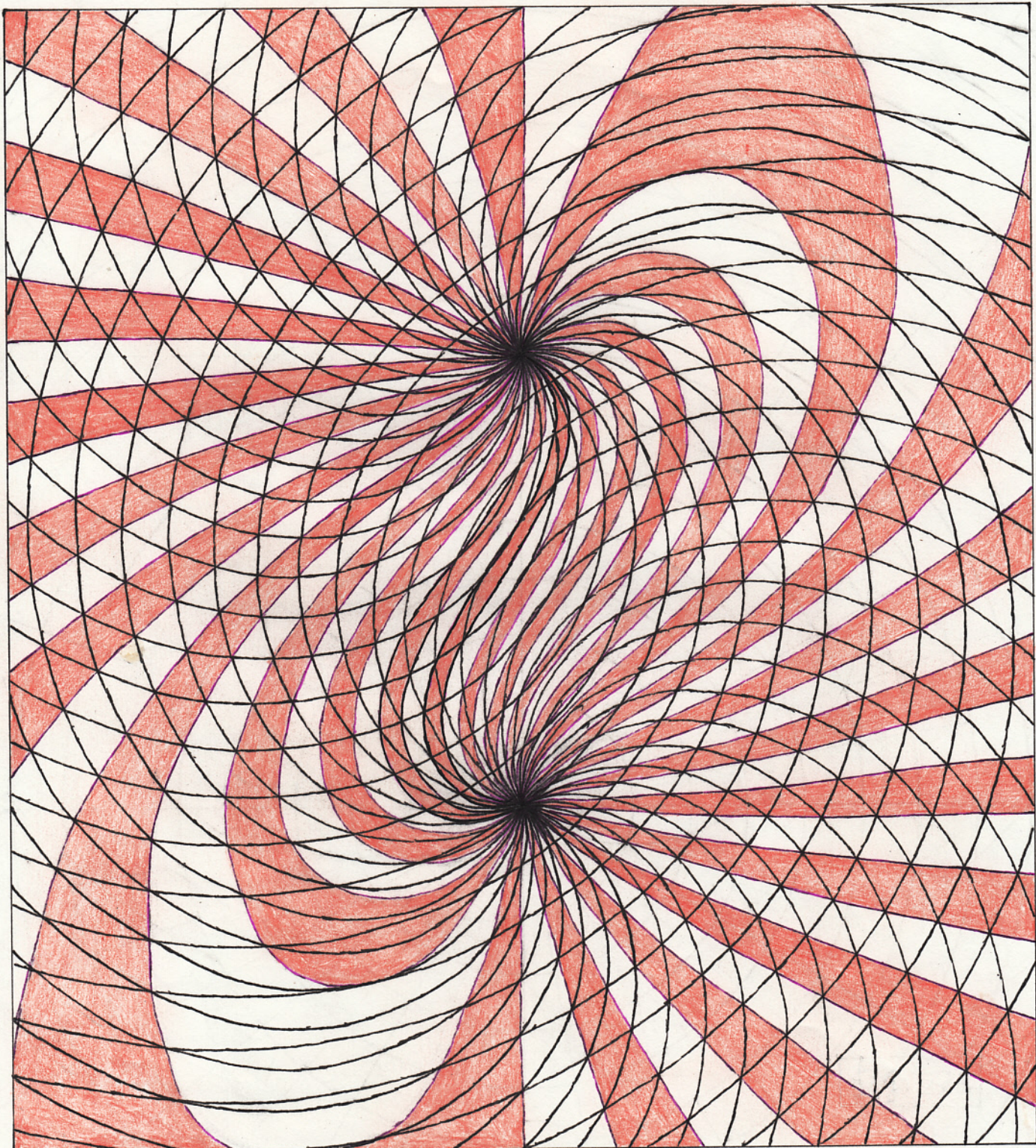


fig.286

中央上側の点は 荷値+36, 源値+1のうずまき点(荷極かつ波源)  
で中央下側の点は 荷値-36, 源値-1のうずまき点です。

【P619】2月5日(土) うずまき曲線群の追加作図（続き）

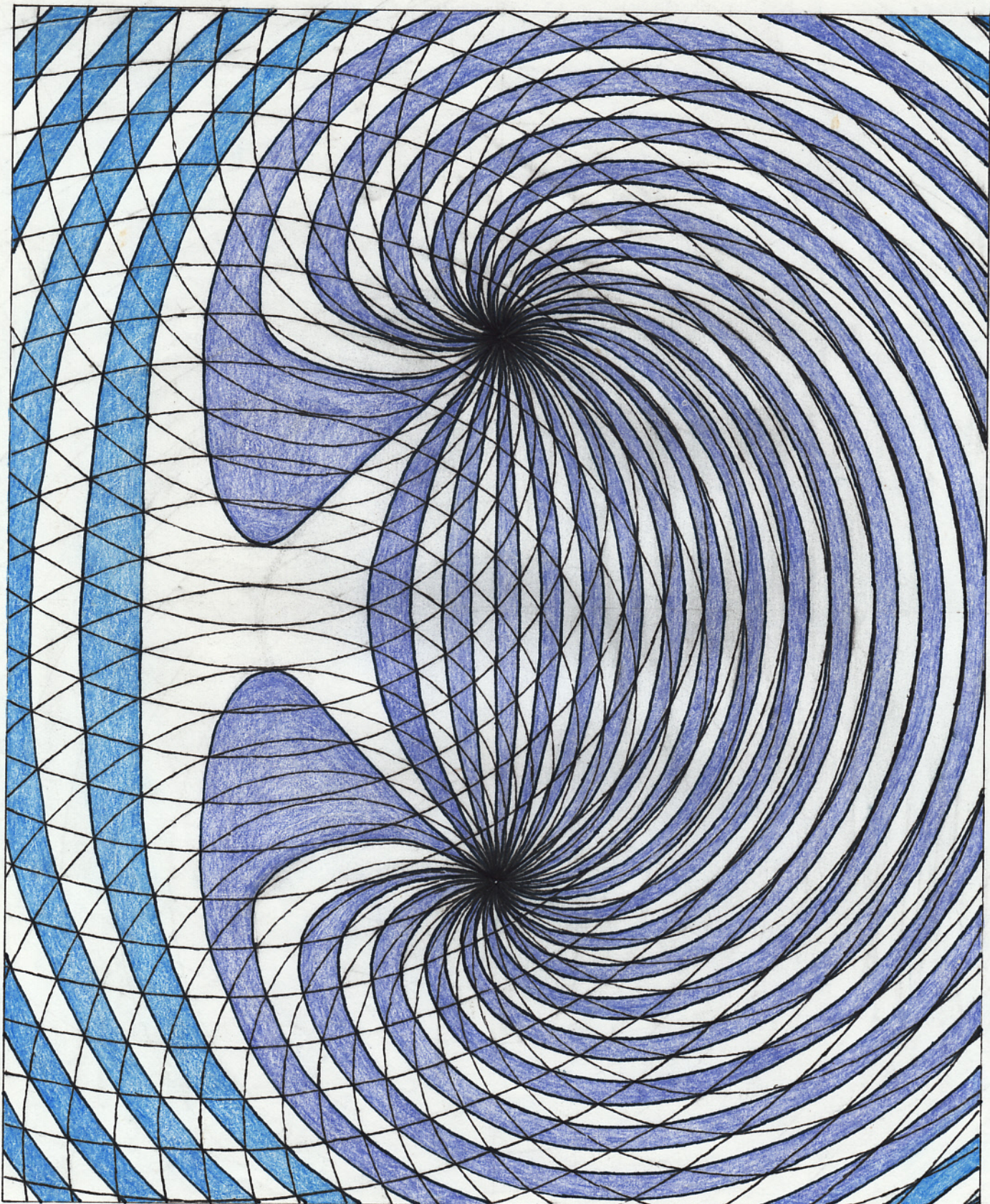


fig.287

上側の点は荷値+36, 源値+1のうずまき点で、下側の点は荷  
値-36, 源値+1のうずまき点です。

【P62Q】2月7日(月)うずまき曲線群の追加作図(続き)

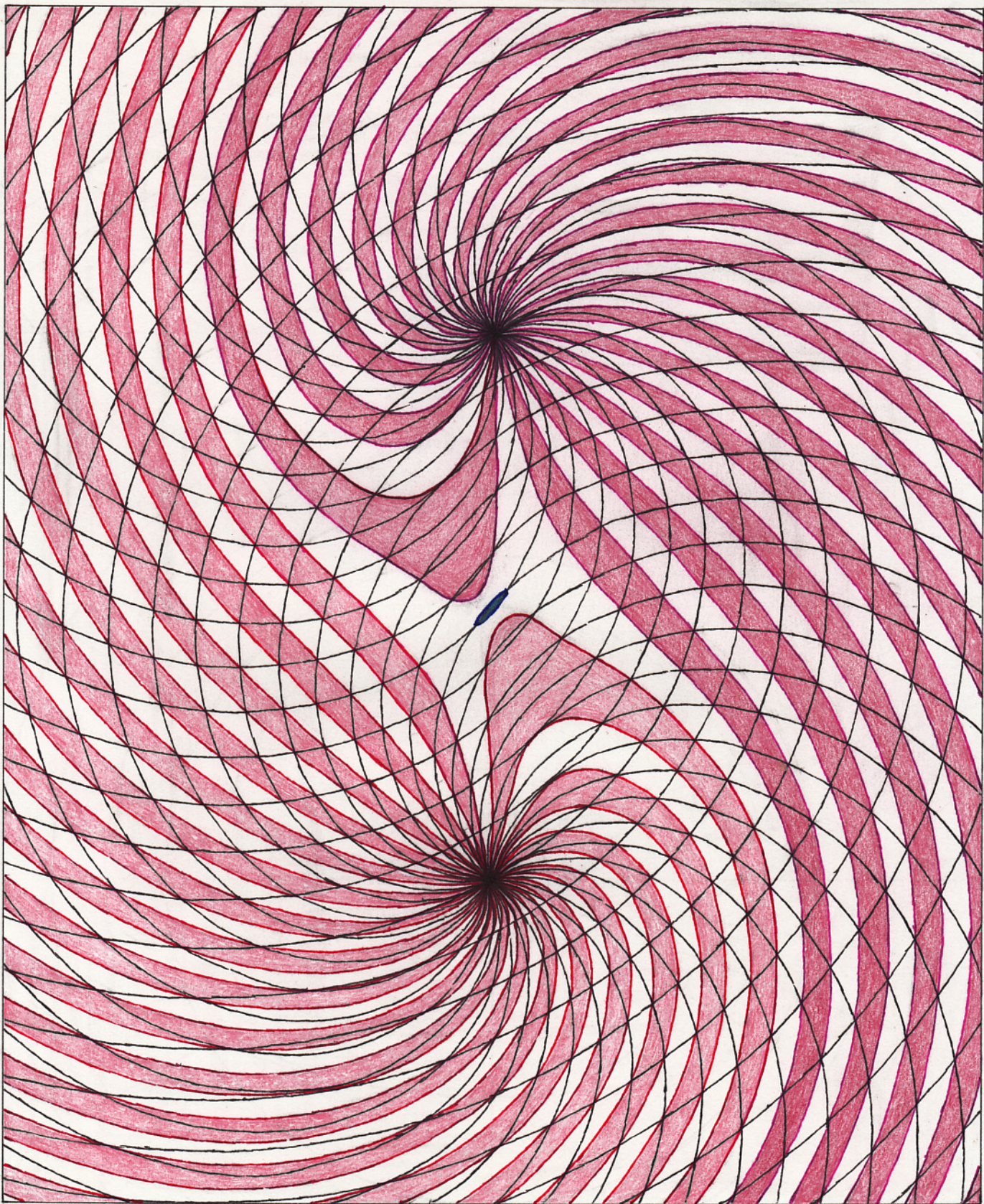


fig.288

上側の点は荷値+36, 源値+1Qのうずまき点です。下側の点も、  
荷値+36, 源値+1Qのうずまき点です。中央の小さな閉曲線について  
は自信がありません。

【P621】2月18日(木) うずまき曲線群の追加作図(続き)

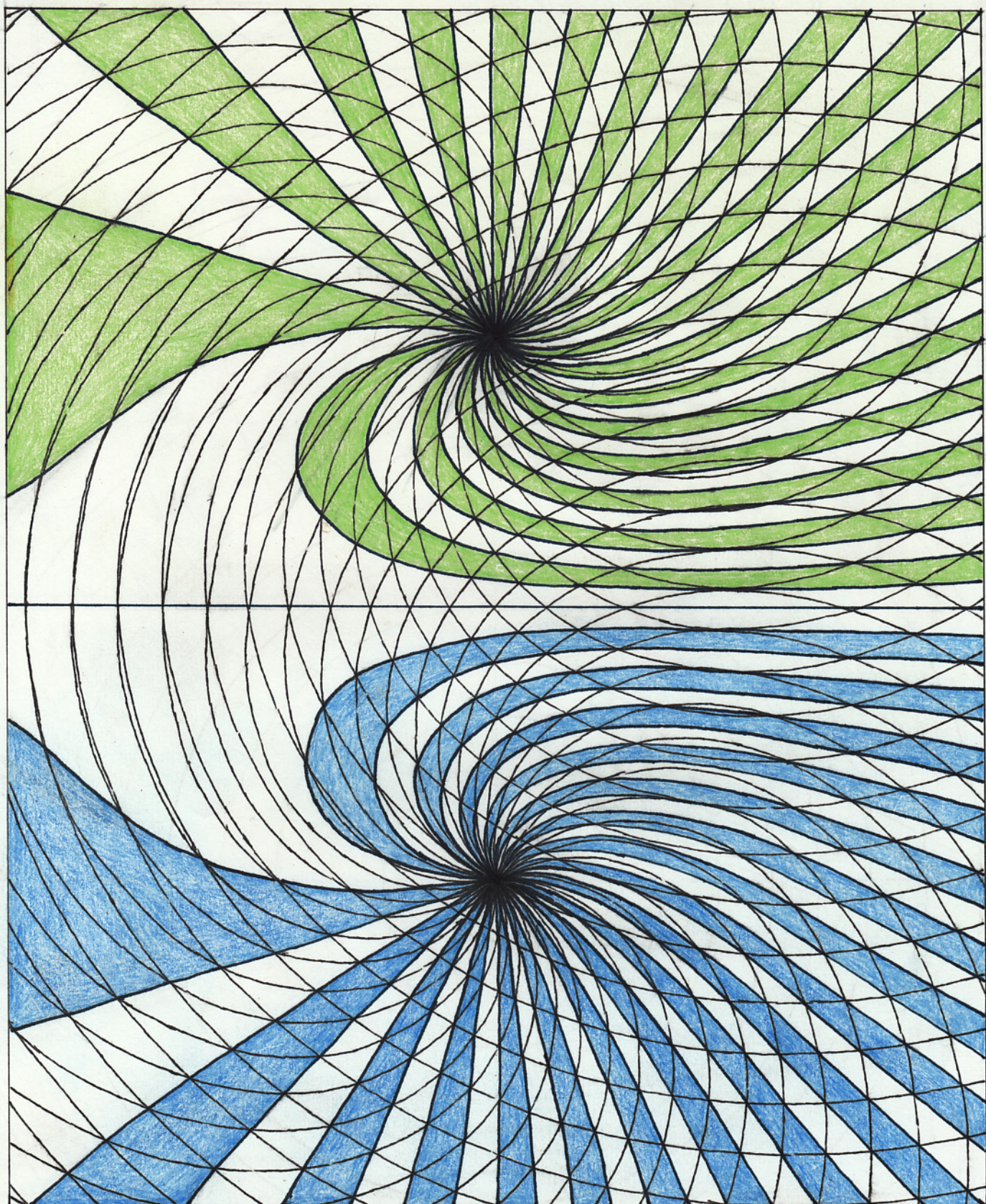


fig. 289

上側の点は荷値+36, 源値-1Qのうずまき点です。下側の点は、  
荷値+36, 源値+1Qのうずまき点です。

【P622】 2月13日(日) うずまき曲線群の追加作図(続き)

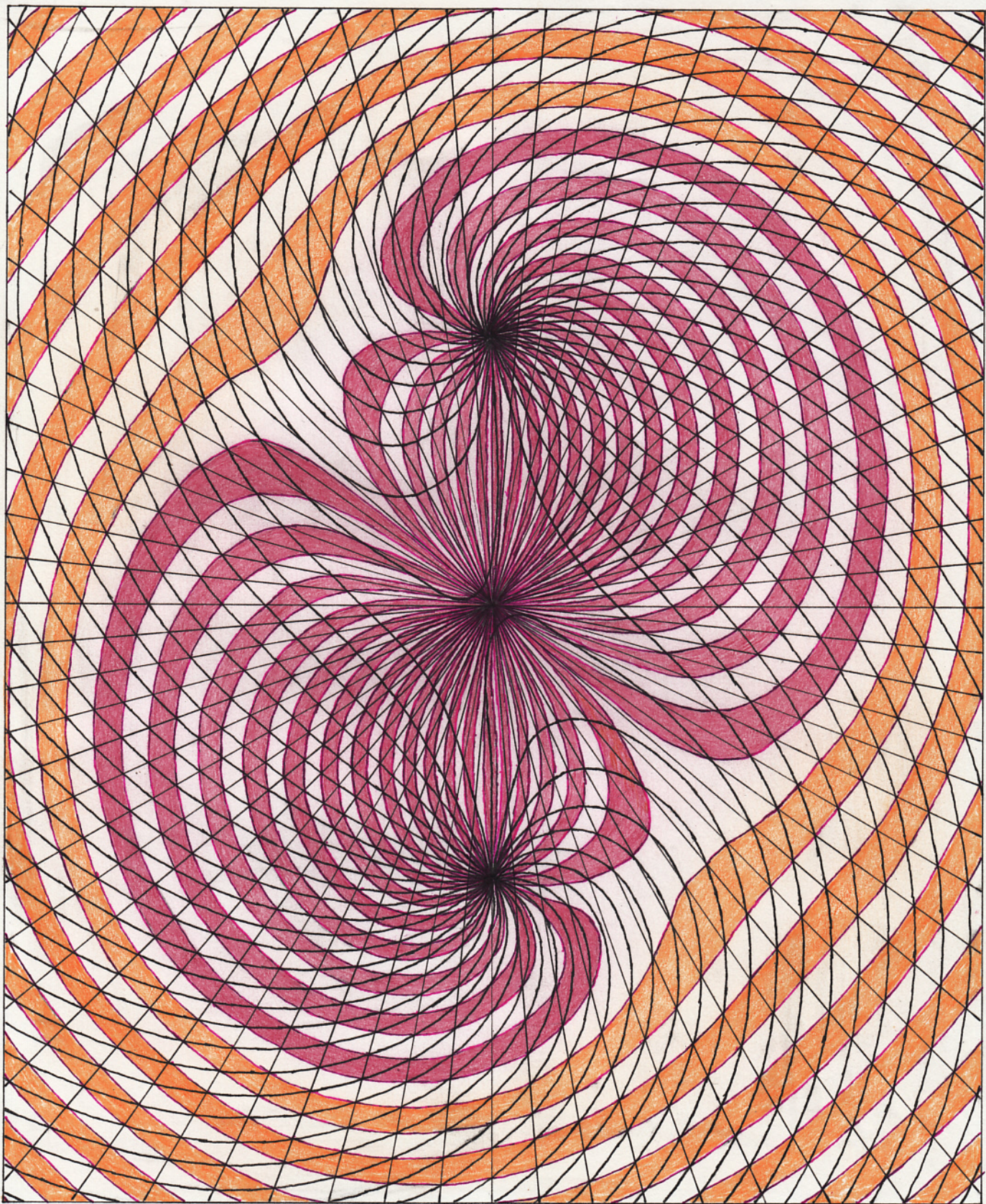


fig.290

fig.288に、荷値-72の荷極を追加しました。

まるで、中性子(Neutron)の内部を見ているかのような絵です。

【P623】2月17日(木) うずまき曲線群の追加作図 (続き)

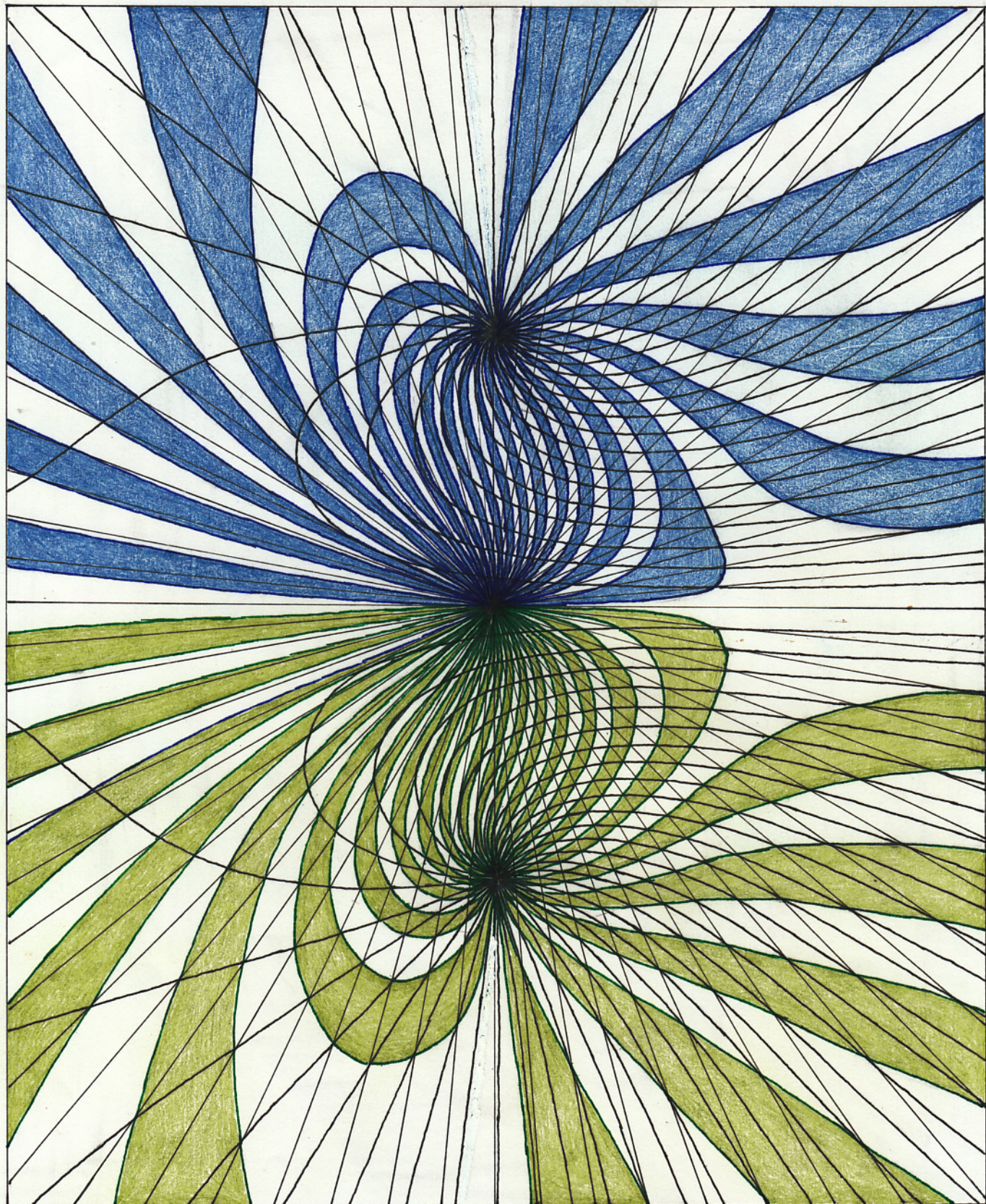


fig.291

fig.289に荷値-72の荷極を追加しました。

## ● Weierstrass Factor Theorem

Mittag-Leffler Expansionを巧妙に(Cleverly, Skillfully)に用いることによって、下記のWeierstrassの乗積定理(Factor Theorem)を導出することが出来ます

### Weierstrass Factor Theorem

$f(z)$ は無限遠点を除く全複素平面上で正則であるとします。 $f(z)$ は孤立した(Isolated)1位の零点  $a_1, a_2, a_3, \dots$  をもつとします。 $a_k \neq \infty$  ( $k = 1, 2, 3, \dots$ ) とします。また  $f(z)$  は次を満たすとします。

$$\lim_{|z| \rightarrow \infty} \frac{f'(z)}{zf(z)} = 0 \quad \text{注) 有り} \rightarrow \text{P610} \quad .1)$$

このとき 次式が成り立ちます。

$$f(z) = f(0) \exp\left(\frac{f'(0)}{f(0)} z\right) \prod_{k=1}^{\infty} \left[ \left(1 - \frac{z}{a_k}\right) \exp\left(\frac{z}{a_k}\right) \right] \quad .2)$$

定理(21Q)

Mittag-Lefflerは、Sonya Kovalevskajaと同様に、Karl Weierstrassの弟子だったそうです。WeierstrassはMittag-Leffler Expansionを用いて上記の定理を導出したのでしょうか？自信はありませんが、そうではないと思います。もっと複雑な計算を経て導出したと思われます。それを学んだMittag-Lefflerがもっと簡単

【P625】 Weierstrass Factor Theorem (続き)

な証明方法がないだろうかと考えた結果、Mittag-Leffler Expansionを発見したかもしれません。

(21Q.2)を証明します。 $g(z)$ を次式で定義します。

$$g(z) = \frac{f'(z)}{f(z)} \quad (W1)$$

$f(z)$ は無限遠点を除く複素平面上の全ての点で正則ですから、 $f'(z)$ も無限遠点を除く複素平面上の全ての点で正則です。 $f(z)$ の零点は全て1位の零点だから  $f'(z)$ の零点と  $f(z)$ の零点が一致することはありません。従って、 $g(z)$ は孤立して1位の極  $a_1, a_2, a_3, \dots$ を持ち、これら以外の点では正則です。

また、(21Q.1)より

$$\lim_{|z| \rightarrow \infty} \frac{g(z)}{z} = 0 \quad (W2)$$

よって、Mittag-Leffler Expansionを  $g(z)$ に適用することができます。

$$g(z) = g(\alpha) + \sum_{k=1}^{\infty} B_k \left( \frac{1}{z-a_k} + \frac{1}{a_k} \right) \quad (W3)$$

ここで  $B_k$  ( $k=1, 2, 3, \dots$ ) は  $g(z)$  の1位の極  $a_k$ における留数です。  $B_k$  を計算しましょう。

$a_k$  は  $f(z)$  の1位の零点だから、 $f(z)$  を点  $a_k$  のまわりで Taylor Expansionを行えば、 $f(z)$  は次のように表わすことが出来ます。

$$f(z) = C_1(z-a_k) + C_2(z-a_k)^2 + \dots \quad (W4)$$

【P626】2月22日(火) Weierstrass Factor Theorem (続き)

ここで、 $C_1 \neq 0$  です。よって  $B_k$  は

$$\begin{aligned} B_k &= \lim_{z \rightarrow a_k} g(z)(z - a_k) = \lim_{z \rightarrow a_k} \frac{f'(z)}{f(z)} (z - a_k) \\ &= \lim_{z \rightarrow a_k} \frac{C_1 + 2C_2(z - a_k) + \dots}{C_1 + C_2(z - a_k) + \dots} = \frac{C_1}{C_1} \end{aligned}$$

$$B_k = 1 \quad (k = 1, 2, 3, \dots) \quad (W5)$$

(W1), (W3), (W5) より

$$\frac{f'(z)}{f(z)} = \frac{f'(0)}{f(0)} + \sum_{k=1}^{\infty} \left( \frac{1}{z - a_k} + \frac{1}{a_k} \right) \quad (W6)$$

この式の両辺を 0 から z まで積分します。

$$\begin{aligned} \left[ \log f(\zeta) \right]_0^z &= \frac{f'(0)}{f(0)} z + \sum_{k=1}^{\infty} \left( \left[ \log(z - a_k) \right]_0^z + \frac{z}{a_k} \right) \\ \left[ \log(z - a_k) \right]_0^z &= \log(z - a_k) - \log(-a_k) \\ &= \log\left(\frac{z - a_k}{-a_k}\right) = \log\left(1 - \frac{z}{a_k}\right) \end{aligned}$$

$$\log f(z) = \log f(0) + \frac{f'(0)}{f(0)} z + \sum_{k=1}^{\infty} \left[ \log\left(1 - \frac{z}{a_k}\right) + \frac{z}{a_k} \right] \quad (W7)$$

(W7) の両辺の  $\exp(\cdot)$  をとれば (21Q.2) が得られます。

Q.E.D.

【P627】2月23日(水) Weierstrass Factor Theorem (続き)

Weierstrass Factor Theorem の具体的な関数への適用例を(やはり、とりあえず)2つだけ示しましょう。まず、次の  $f(z)$  を考えましょう。

$$f(z) = \frac{\sin z}{z} \quad (\text{W8})$$

どうして  $\sin z$  そのものではなく  $z$  で割った関数を考察の対象とするのかは明らかですね。 $z=0$  が  $f(z)$  の零点とならないことが必須だからです。 $f(z)$  の零点は

$$a_k = k\pi \quad (k = \pm 1, \pm 2, \pm 3, \dots) \quad (\text{W9})$$

(207.7)より  $f(z)$  はこれら以外の零点はもちません。また  $z=a_k$  ( $k=\pm 1, \pm 2, \pm 3, \dots$ ) は全て1位の零点です。さらに、 $f(z)$  は無限遠点を除く全複素平面上で正則です。 $f'(z)$  は

$$f'(z) = \frac{z \cos z - \sin z}{z^2} \quad (\text{W10})$$

よって

$$\frac{f'(z)}{zf(z)} = \frac{1}{\sin z} \frac{z \cos z - \sin z}{z^2} = \frac{\cos z}{z \sin z} - \frac{1}{z^2} \quad (\text{W11})$$

$$\left(\frac{\cos z}{z \sin z}\right)^2 = \frac{\cos^2 z}{z^2 \sin^2 z} = \frac{1}{z^2 \sin^2 z} - \frac{1}{z^2} \quad (\text{W12})$$

(W11), (W12), (208.1)より、 $f(z)$  は Weierstrass Factor Theorem の前提条件注(206.2)を満たします。 $f(0)$ ,  $f'(0)$  は

$$f(0) = \lim_{z \rightarrow 0} \frac{\sin z}{z} = \lim_{z \rightarrow 0} \frac{\cos z}{1} = 1 \quad (\text{W13})$$

【P628】 Weierstrass Factor Theorem ( 続き )

$$\begin{aligned}
 f'(0) &= \lim_{z \rightarrow 0} \frac{z \cos z - \sin z}{z^2} \\
 &= \lim_{z \rightarrow 0} \frac{\cos z - z \sin z - \cos z}{2z} \\
 &= \lim_{z \rightarrow 0} \frac{-\sin z - z \cos z}{2} = 0 \tag{W14}
 \end{aligned}$$

(W8), (W9), (W13), (W14)、及び(21Q.2)より

$$\begin{aligned}
 \frac{\sin z}{z} &= 1 \cdot \exp\left(\frac{0}{1}z\right) \cdot \prod_{k=1}^{\infty} \left[ \left(1 - \frac{z}{k\pi}\right) \cdot \exp\left(-\frac{z}{k\pi}\right) \right] \\
 &\quad \cdot \prod_{k=1}^{\infty} \left[ \left(1 + \frac{z}{k\pi}\right) \cdot \exp\left(-\frac{z}{k\pi}\right) \right] \\
 \frac{\sin z}{z} &= \prod_{k=1}^{\infty} \left(1 - \frac{z^2}{k^2\pi^2}\right) \tag{W15}
 \end{aligned}$$

次に、下記の  $f(z)$  を考えましょう。

$$f(z) = \cos z \tag{W16}$$

$f(z)$  の 1 位の零点は、下記の  $a_k$  と  $b_k$  です。

$$a_k = \frac{2k-1}{2}\pi, \quad b_k = -a_k \quad (k=1, 2, 3, \dots) \tag{W17}$$

(2Q7.7) より  $f(z)$  はこれら以外の零点はもちません。さらに  $f(z)$  は無限遠点を除く全複素平面上で正則です。 $f'(z)$  は

$$f'(z) = -\sin z \tag{W18}$$

【P629】2月24日(木) Weierstrass Factor Theorem (続き)

よって

$$\frac{f'(z)}{zf(z)} = \frac{-\sin z}{z \cos z} \quad (\text{W19})$$

$$\left(\frac{-\sin z}{z \cos z}\right)^2 = \frac{\sin^2 z}{z^2 \cos^2 z} = \frac{1}{z^2 \cos^2 z} - \frac{1}{z^2} \quad (\text{W20})$$

(W19), (W20), (208.2) より、 $f(z)$  は Weierstrass Factor Theorem の前提条件 注(206.2) を満たします。 $f(0), f'(0)$  は

$$f(0) = 1, \quad f'(0) = 0 \quad (\text{W21})$$

(W16), (W17), (W21) 及び (210.2) より

$$\cos z = 1 \cdot \exp\left(\frac{0}{1}z\right) \cdot \prod_{k=1}^{\infty} \left[ \left(1 - \frac{2z}{(2k-1)\pi}\right) \exp\left(\frac{2z}{(2k-1)\pi}\right) \right]$$

$$\cdot \prod_{k=1}^{\infty} \left[ \left(1 + \frac{2z}{(2k-1)\pi}\right) \exp\left(\frac{-2z}{(2k-1)\pi}\right) \right]$$

$$\cos z = \prod_{k=1}^{\infty} \left(1 - \frac{2^2 z^2}{(2k-1)^2 \pi^2}\right) \quad (\text{W22})$$

Weierstrass Factor Theorem の適用例

$$\frac{\sin z}{z} = \prod_{k=1}^{\infty} \left(1 - \frac{z^2}{k^2 \pi^2}\right) \quad .1)$$

$$\cos z = \prod_{k=1}^{\infty} \left(1 - \frac{2^2 z^2}{(2k-1)^2 \pi^2}\right) \quad .2)$$

定理(211)

## ● 小休止：誕生石

Jan.	Garnet	石榴石	珪酸塩鉱物。Mg, Fe, Mn, Ca, Alなど を含む。変成岩中に多い。12面体結晶がふつ。
Feb.	Amethyst	紫水晶	紫色の水晶。紫石英
Mar.	Aquamarine	藍玉	緑柱石。青緑色で透明。
	BloodStone	血石	濃緑色の玉骨道。酸化鉄による赤色の 斑点がある。
Apr.	Diamond	金剛石	炭素の同素体。ふつう正8面体。無色透明。 硬度は最高。
May	Emerald	翠玉	緑柱石。濃緑色で透明。
June	Pearl	真珠	アコヤガイなどの体内にできる球状物質。 銀白色の光沢。
	MoonStone	月長石	長石。乳白色半透明。カットされた曲面か ら青色の閃光を放つ。
July	Ruby	紅玉	Corundum。微量のCrのために赤色。主産 地はミャンマーなど。
Aug.	Sardonyx	赤縞瑪瑙	瑪瑙。茶色を帯びた赤色に白色の縞 模様。
	Peridot	橄欖石	橄欖石。暗緑色で透明。
Sep.	Sapphire	青玉	Corundum。濃青色透明。
Oct.	Opale	蛋白石	含水珪酸鉱物。半透明で乳白色。不純 物により種々の色。主産地はオーストラリア、メキシコ。
	Tourmaline	電気石	珪酸塩鉱物。Fe, Al, Bなどを含む。黒、緑、 青、紅などガラス光沢。摩擦や加熱で帶電。
Nov.	Topaz	黄玉	珪酸塩鉱物。Al, Fを含む。斜方晶系。 無色または黄色の透明な柱状結晶。縦条線。
Dec.	Turquoise	トルコ石	燐酸塩鉱物。Cu, Alを含む。三斜晶系。 空色または青緑色。
	LapisLazuli	瑠璃	数種の鉱物の混合物。黄鉄鉱を含む。 藍青色。主産地はアフガニスタン。

**珪酸塩** 二酸化珪素  $\text{SiO}_2$  と金属酸化物からなる塩。

アルカリ塩以外は水に溶けず、一般に融点が高く、融解して冷却するとガラス状になることが多い。地殻を構成する大部分の造岩鉱物に存在。長石、雲母、角閃石、輝石、橄欖石など。

**水晶** 石英(Quartz)のこと。二酸化珪素  $\text{SiO}_2$  からなる鉱物。

ふつうガラス光沢をもつ六方晶系の柱石か錐状の結晶で、透明なものを水晶(Crystal)という。花崗岩、片麻岩などの主成分。

**緑柱石** 硅酸塩鉱物。Be, Alを含む。六方晶系に属し、六角柱状の結晶をなす。ガラス光沢があり、無色や緑色、青色など。

**玉骨道** 石英の微小な結晶からなる鉱物。透明または半透明で、色は白、灰、淡褐、赤、緑など。

**長石** 硅酸塩鉱物。Al, K, Na, Caなどを含む。单斜晶系の正長石、三斜晶系の斜長石などに分類されている。

**Corundum** 酸化アルミニウム  $\text{Al}_2\text{O}_3$  からなる鉱物。ダイヤモンドに次いで硬い。六方晶系。宝石、研磨剤に利用。

**瑪瑙** 石英の結晶の集合体(玉骨道)で、色や透明度の違いにより層状の縞模様をもつもの。色は白、灰、赤褐色など変化に富む。硬質なので乳鉢にも使われる。

**橄欖石** 硅酸塩鉱物。Fe, Mgを含む。黄緑色で、ふつう短柱状の結晶をなす。斜方晶系。塩基性および超塩基性岩の主要な造岩鉱物。

**磷酸塩** 磷酸  $\text{H}_3\text{PO}_4$  の水素を金属あるいは塩素と置換してできる塩。

**黄鉄鉱** FeとS(Sulphur)からなる鉱物。金属光沢を帶びた淡黄色。等軸晶系。硫酸製造の硫黄の原料になる。

**鉱物** Mineral. 地殻中に存在する無生物で、均質な固体物質。一定の物理的・化学的性質をもち、大部分は結晶質の無機物。